

[3] Рыков В. Г., Янтовский Е. И. Тез. VIII Межд. конф. по МГД преобразованию энергии. М., 1983.

[4] Спринг Е. В кн.: Прямое преобразование энергии. М.: Мир, 1969, с. 384—413.

Институт общей физики АН СССР  
Москва

Поступило в Редакцию  
24 февраля 1987 г.

Журнал технической физики, т. 58, в. 11, 1988

## ЗАВИСИМОСТЬ ЗАРЯДА МОП СТРУКТУРЫ ОТ ТОКА ЧЕРЕЗ ДВУМЕРНЫЙ КАНАЛ В РЕЖИМЕ МАГНИТНОГО КВАНТОВАНИЯ

А. А. Шашкин, В. В. Ларкина

Существует ряд работ [1—4], в которых исследовано распределение тока в МОП транзисторах в режиме квантового эффекта Холла (КЭХ), когда ток по образцу не мал. В этом случае создаваемый током градиент потенциала двумерного электронного слоя влияет на распределение этого тока [1—3], что и является причиной нелинейности, наблюдаемой при измерении  $\rho_{xx}$  (или  $\sigma_{xx}$ ). При этом распределение тока не будет однородным и, как показано в [2, 3], возникнет токовый шнур, перемещающийся по образцу при изменении напряжения на затворе.

С появлением шнура сопряжено возникновение зависимости концентрации двумерных электронов  $N_s$  от координаты. Экспериментально факт координатной зависимости  $N_s$  был обнаружен в работе [4]. Через образец холловской геометрии пропускался постоянный ток  $I$  и измерялся ток заряда  $I^*$  емкости затвор — электронный слой при линейном по времени изменении напряжения на затворе  $V_g$ . В окрестности  $V_g = V_g^0$  ( $V_g^0$  соответствует целочисленному фактору заполнения  $n = N_s h c / e H$ ) наблюдались особенности в зависимости  $I^*(V_g)$  [4].

Цель настоящей работы состоит в расчете формы наблюдавшихся в [4] особенностей и анализе возможности извлечения параметров двумерных электронов из измерений такого рода.

Для расчета используем модель [2], в которой предполагается, во-первых, существование двух порогов подвижности на соседних уровнях Ландау

$$\sigma_{xx} = \sigma_0 e^{-\Delta/kT} \operatorname{ch} \epsilon_F/kT \quad (1)$$

(здесь  $\epsilon_F$  — фермиевская энергия, отсчитанная от середины между уровнями Ландау,  $\Delta$  — энергия активации при  $\epsilon_F = 0$ ); во-вторых, плотность состояний электронов  $D$  постоянна вблизи  $\epsilon_F = 0$ . В рамках упомянутой модели легко получить выражение для разности потенциалов между затвором и слоем электронов

$$U = V_g^0 + \sqrt{T} \operatorname{Arsh}(\operatorname{sh} t + \delta_0 y/d), \quad \delta_0 = 2 \operatorname{sh} a \operatorname{ch}(t + a), \quad (2)$$

где введены обозначения

$$\nu = keD/C_1, \quad a = I\rho_{xy}/2\nu T, \quad t = (V_g - V_g^0)/\nu T,$$

$C_1$  — емкость затвор — электронный слой, приходящаяся на единицу площади; координата  $y$  направлена поперек образца;  $d$  — ширина образца. Ток заряда  $I^*$

$$I^* = C \dot{V}_g, \quad C = C_0 d^{-1} \int_0^d \frac{\partial U}{\partial V_g} dy,$$

$C_0$  — емкость МОП структуры. Отсюда

$$C/C_0 = 1 + (a \operatorname{cth} ta - 1) \operatorname{ch}^{-2}(t + a). \quad (3)$$

Полученная формула (3) качественно описывает экспериментальную зависимость. Однако она не дает значений  $C/C_0 < 1$ , наблюдавшихся в эксперименте при сравнительно больших

разностях  $|V_g - V_g^0|$ , так как соотношение (1) перестает быть справедливым вблизи порога подвижности. По значению сигнала в максимуме  $C_{\max}/C_0 = a \operatorname{cth} a$  может быть определена плотность состояний  $D$ . Для реализации такой процедуры необходимо иметь образец, длина которого  $l \gg d$ , поскольку у концов образца формула (2) не справедлива.

Этих трудностей можно избежать, если проводить измерения на образце геометрии Корбино. Аналогичные вычисления приводят в этом случае к ответу

$$C/C_0 = [(r_2/r_1)^2 - 1]^{-1} \operatorname{ch} t \int_0^{2 \ln r_2/r_1} [1 + (\operatorname{sh} t - x/2\delta)^2]^{-1/2} e^x dx,$$

$$\delta = 2\pi r_0 e^{-\Delta/kT} \sqrt{T/I},$$
(4)

где  $r_1, r_2$  — внутренний и внешний радиусы образца, а ток  $I$  через образец задан. В качестве примера набор расчетных кривых  $C/C_0(t)$  для  $r_2/r_1=3$  при различных значениях параметра  $\delta$  представлен на рис. 1. Зависимость максимума  $C_{\max}/C_0$  от соответствующего  $t_{\max}$  и от  $\delta$

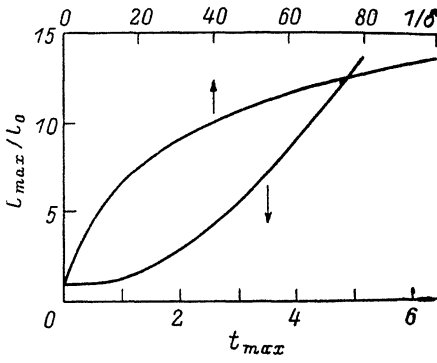
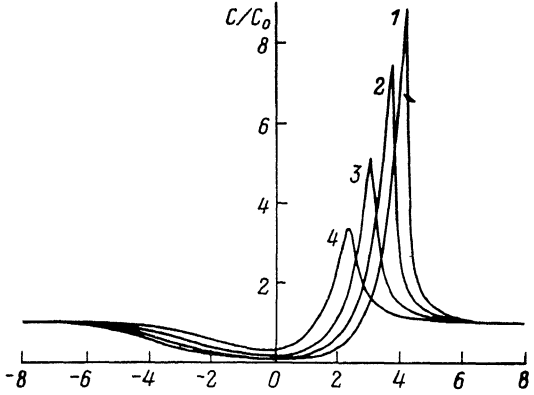


Рис. 1. Расчетная зависимость зарядного тока МОП структуры от напряжения на затворе для  $r_2/r_1=3$ . Указаны значения параметра  $1/\delta$ : 30 (1), 20 (2), 10 (3), 5 (4).

Рис. 2. Величина максимального тока заряда в зависимости от  $1/\delta$  и от напряжения на затворе в точке максимума.  $r_2/r_1=3$ .

изображена на рис. 2. Координата шнура холловского тока  $r_0$ , отвечающая  $t_{\max}$ , при  $1/\delta > 3$  оказывается равной  $r_0/r_1 \approx 2.7$ . При остальных  $\delta$  в точке  $t_{\max}$   $r_0 \geq r_2$ , что означает исчезновение шнура у внешнего контакта, т. е. переход к линейному режиму. С учетом последнего обстоятельства легко определить  $D$  с помощью кривой  $C_{\max}/C_0(t_{\max})$ , если снять экспериментальную зависимость  $C/C_0(t)$  при обеих полярностях тока  $I$ .

Отметим, что измерения следует проводить при достаточно медленной развертке напряжения на затворе ( $\dot{V}_g \ll C_{xx} V_g^0 / C_1 b^2$ , где  $b=r_2$  для Корбино и  $b=d$  в случае образца холловской геометрии), чтобы эффекты сканирования [3] не были заметны.

Как видно из работы [4], формула (4) подтверждается экспериментом. Образец холловской геометрии, когда ток через него равен нулю, аналогичен образцу геометрии Корбино с  $r_1=0$ . Если скорость развертки напряжения  $\dot{V}_g$  не мала (пестационарный случай), то разность потенциалов  $\Delta U$  между внешним берегом и центром холловского образца будет иметь вид кривой с максимумом в районе  $V_g = V_g^0$  (так как  $\Delta U \sim C_0 C_{xx}^2$ ), которая подобна зависимости  $\Delta U(V_g)$ , измеренной в стационарных условиях для образца геометрии Корбино, по которому течет постоянный ток  $I$ . Следовательно, должны согласовываться и зависимости  $C/C_0(V_g)$ . Действительно, экспериментальные кривые (рис. 7 работы [4]) аналогичны расчетным (рис. 1).

Таким образом, предложенная модель описывает экспериментальные результаты работы [4] и позволяет определить плотность состояний  $D$  в режиме шнурования холловского тока.

Авторы выражают искреннюю благодарность В. Т. Долгополову, В. М. Пудалову, С. Г. Семенчинскому и В. С. Эдельману за полезные обсуждения.

# Литература

- [1] Пудалов В. М., Семенчинский С. Г. Письма в ЖЭТФ, 1985, т. 42, № 5, с. 188—190.
- [2] Шашкин А. А., Долгополов В. Т., Дорожкин С. И. ЖЭТФ, 1986, т. 91, № 11, с. 1897—1904.
- [3] Дорожкин С. И., Шашкин А. А., Житенев Н. Б., Долгополов В. Т. Письма в ЖЭТФ, 1986, т. 44, № 4, с. 189—192.
- [4] Семенчинский С. Г. ЖЭТФ, 1986, т. 91, № 11, с. 1804—1814.

Институт физики твердого тела АН СССР  
Черноголовка Моск. обл.

Поступило в Редакцию  
26 февраля 1987 г.

УДК 539.23

Журнал технической физики, т. 58, в. 11, 1988

## ОСОБЕННОСТИ ПРЕОБРАЗОВАНИЯ ВНУТРЕННЕЙ СТРУКТУРЫ ДОМЕННЫХ ГРАНИЦ В ТОНКИХ ПЛЕНКАХ

*Ф. Г. Барыяхтар, А. В. Зиновук, А. Ф. Коновалов, Л. И. Приходько*

В последнее время появился ряд работ [1—4], в которых рассматриваются вопросы, связанные с преобразованием внутренней структуры доменных границ (ДГ) во внешнем планарном магнитном поле. Интерес к этой проблеме стимулирован тем, что исследования показали возможность создания ЗУ большой емкости на основе вертикальных блоховских линий (ВБЛ).

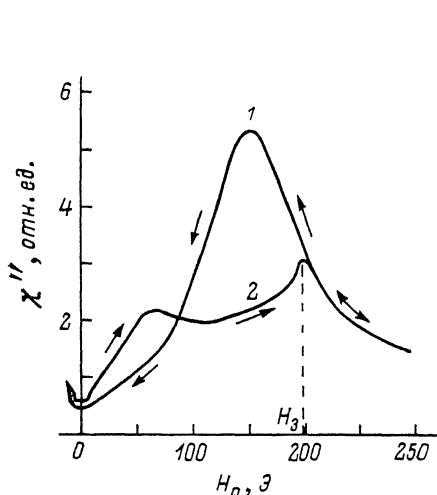


Рис. 1. Зависимость мнимой части высокочастотной восприимчивости от планарного магнитного поля  $H_p$  для пленки с поляризованными (1) и содержащими ВБЛ (2) доменными границами.

Стрелками показано направление изменения поля.  $\nu=90$  мГц,  $T=293$  К.

Рис. 2. Детальный вид зависимости  $\chi''(H_p)$  в области малых полей при  $T=300$  (1), 430К (2).  $\nu=90$  мГц.

В данной работе экспериментально изучены вопросы преобразования структуры ДГ полосовых доменов в феррит-гранатовых пленках, а также зависимость их от температуры и величины поля одноосной анизотропии.

Методика эксперимента базировалась на исследовании зависимости мнимой части восприимчивости  $\chi''$  от магнитного поля  $H_p$ , приложенного в плоскости пленки параллельно ДГ. Измерения  $\chi''$  проводились на частотах вблизи резонанса ДГ по изменению добротности колебательного контура, внутри катушки индуктивности которого помещался образец таким образом, чтобы высокочастотное поле было направлено вдоль оси легкого намагничивания пленки.

